

MASTER I INFORMATIQUE  
TRAVAIL ENCADRÉ DE RECHERCHE  
JUN 2018

---

Rapport QuChemPedia  
Sous titre

---

*Auteur*

Jules LEGUY

*Encadrants*

Benoit DA MOTA

Thomas CAUCHY

# Table des matières

<b>1</b>	<b>Introduction</b>	<b>2</b>
<b>2</b>	<b>Description des problèmes</b>	<b>3</b>
<b>3</b>	<b>Représentations géométriques moléculaires</b>	<b>4</b>
3.1	Matrice des coordonnées atomiques . . . . .	4
3.2	Matrice réduite des distances inter-atomiques . . . . .	4
3.2.1	Motivation . . . . .	4
3.2.2	Formalisation . . . . .	5
3.2.3	Reconstruction des molécules . . . . .	6
3.3	Matrice réduite des distances à des points fixes . . . . .	11
3.4	. . . . .	11
<b>4</b>	<b>Modèles prédictifs</b>	<b>12</b>
<b>5</b>	<b>Conclusion</b>	<b>13</b>
	<b>Appendices</b>	<b>13</b>

# Chapitre 1

## Introduction

## Chapitre 2

# Description des problèmes

## Chapitre 3

# Représentations géométriques moléculaires

### 3.1 Matrice des coordonnées atomiques

La matrice des coordonnées atomiques est la façon la plus simple de représenter la géométrie d’une molécule. L’intérêt de cette représentation est qu’elle est utilisée par les chimistes (fichiers .mol, .xyz + utilisation dans les logiciels de calcul?). Il s’agit donc pour nous d’une représentation d’entrée et de sortie. Nos données d’apprentissage contiennent pour chaque molécule une matrice des positions, en plus des numéros et masses atomiques, et nous devons être capables de fournir cette représentation en sortie de nos prédictions, pour que nos résultats soient utilisables par les chimistes.

Formellement, la matrice des coordonnées atomiques d’une molécule contient les coordonnées de chaque atome dans un repère cartésien orthonormé à trois dimensions.

$x_1$	$y_1$	$z_1$
$x_2$	$y_2$	$z_2$
$\vdots$	$\vdots$	$\vdots$
$x_n$	$y_n$	$z_n$

FIGURE 3.1 – Matrice des coordonnées atomiques (molécule de taille  $n$ )

### 3.2 Matrice réduite des distances inter-atomiques

#### 3.2.1 Motivation

Cette représentation est issue du travail qui a été fait précédemment sur ce projet, et consiste à représenter une molécule par ses distances inter-atomiques. L’intérêt de cette représentation est que les réseaux de neurones qui l’utilisent travaillent dans des repères relatifs. Lorsqu’ils effectuent des prédictions, ils n’ont pas besoin de *comprendre* les notions mathématiques de géométrie permettant de déduire la position d’un point dans un repère à partir de ses distances à d’autres points, contrairement à la représentation décrite en (REF REPR ABS). Cette représentation est donc très commode pour les modèles prédictifs dont l’objectif est de corriger les distances entre deux atomes, puisqu’elle est basée sur les distances entre les paires d’atomes.

De plus, l’utilisation d’une représentation basée sur les distances relatives permet d’offrir une représentation unique pour les molécules ayant des ensembles d’atomes pouvant effectuer des rotations, contrairement aux représentations basées sur les coordonnées (REF REPR COORDS) ou sur des distances à des points fixes (REF REPR DIST ABS).

Lorsque les modèles utilisent cette représentation en sortie, ou plus précisément que l’on déduit la matrice réduite des distances inter-atomiques de la sortie du modèle (voir REF SORTIE DELTA\_DIST+H), nous devons toutefois trouver une méthode (voir REF PRINC RECONSTRUCT) pour reconstruire les molécules sous la forme d’une matrice de coordonnées (REF REPR COORDS).

### 3.2.2 Formalisation

Pour ne pas surcharger les modèles d'information, nous ne travaillons pas sur la matrice de distances inter-atomiques complète, mais sur un sous-ensemble de cardinalité minimale de cette matrice telle que nous pouvons reconstruire sans ambiguïté un ensemble de coordonnées représentant les positions des atomes de la molécule. La matrice des distances étant symétrique et la diagonale étant nulle, toute l'information est contenue dans chaque demi-matrice triangulaire privée de la diagonale.

	$a_0$	$a_1$	$a_2$	$a_3$	$a_4$	$\dots$	$a_{n-4}$	$a_{n-3}$	$a_{n-2}$	$a_{n-1}$	$a_n$
$a_0$	$d_{0,0}$	$d_{0,1}$	$d_{0,2}$	$d_{0,3}$	$d_{0,4}$	$\dots$	$d_{0,n-4}$	$d_{0,n-3}$	$d_{0,n-2}$	$d_{0,n-1}$	$d_{0,n}$
$a_1$	$d_{1,0}$	$d_{1,1}$	$d_{1,2}$	$d_{1,3}$	$d_{1,4}$	$\dots$	$d_{1,n-4}$	$d_{1,n-3}$	$d_{1,n-2}$	$d_{1,n-1}$	$d_{1,n}$
$a_2$	$d_{2,0}$	$d_{2,1}$	$d_{2,2}$	$d_{2,3}$	$d_{2,4}$	$\dots$	$d_{2,n-4}$	$d_{2,n-3}$	$d_{2,n-2}$	$d_{2,n-1}$	$d_{2,n}$
$a_3$	$d_{3,0}$	$d_{3,1}$	$d_{3,2}$	$d_{3,3}$	$d_{3,4}$	$\dots$	$d_{3,n-4}$	$d_{3,n-3}$	$d_{3,n-2}$	$d_{3,n-1}$	$d_{3,n}$
$a_4$	$d_{4,0}$	$d_{4,1}$	$d_{4,2}$	$d_{4,3}$	$d_{4,4}$	$\dots$	$d_{4,n-4}$	$d_{4,n-3}$	$d_{4,n-2}$	$d_{4,n-1}$	$d_{4,n}$
$\vdots$	$\vdots$	$\vdots$	$\vdots$	$\vdots$	$\vdots$	$\ddots$	$\vdots$	$\vdots$	$\vdots$	$\vdots$	$\vdots$
$a_{n-4}$	$d_{n-4,0}$	$d_{n-4,1}$	$d_{n-4,2}$	$d_{n-4,3}$	$d_{n-4,4}$	$\dots$	$d_{n-4,n-4}$	$d_{n-4,n-3}$	$d_{n-4,n-2}$	$d_{n-4,n-1}$	$d_{n-3,n}$
$a_{n-3}$	$d_{n-3,0}$	$d_{n-3,1}$	$d_{n-3,2}$	$d_{n-3,3}$	$d_{n-3,4}$	$\dots$	$d_{n-3,n-4}$	$d_{n-3,n-3}$	$d_{n-3,n-2}$	$d_{n-3,n-1}$	$d_{n-3,n}$
$a_{n-2}$	$d_{n-2,0}$	$d_{n-2,1}$	$d_{n-2,2}$	$d_{n-2,3}$	$d_{n-2,4}$	$\dots$	$d_{n-2,n-4}$	$d_{n-2,n-3}$	$d_{n-2,n-2}$	$d_{n-2,n-1}$	$d_{n-2,n}$
$a_{n-1}$	$d_{n-1,0}$	$d_{n-1,1}$	$d_{n-1,2}$	$d_{n-1,3}$	$d_{n-1,4}$	$\dots$	$d_{n-1,n-4}$	$d_{n-1,n-3}$	$d_{n-1,n-2}$	$d_{n-1,n-1}$	$d_{n-1,n}$
$a_n$	$d_{n,0}$	$d_{n,1}$	$d_{n,2}$	$d_{n,3}$	$d_{n,4}$	$\dots$	$d_{n,n-4}$	$d_{n,n-3}$	$d_{n,n-2}$	$d_{n,n-1}$	$d_{n,n}$

FIGURE 3.2 – Matrice complète des distances inter-atomiques d'une molécule

De plus, nous n'avons besoin que des distances à quatre points pour retrouver la position de chaque atome (voir REF RECONSTRUCT), nous nous contentons donc de garder les quatre premières distances de chaque ligne de la matrice triangulaire supérieure privée de la diagonale.

	$a_0$	$a_1$	$a_2$	$a_3$	$a_4$	$\dots$	$a_{n-4}$	$a_{n-3}$	$a_{n-2}$	$a_{n-1}$	$a_n$
$a_0$	$d_{0,0}$	<b><math>d_{0,1}</math></b>	<b><math>d_{0,2}</math></b>	<b><math>d_{0,3}</math></b>	<b><math>d_{0,4}</math></b>	$\dots$	$d_{0,n-4}$	$d_{0,n-3}$	$d_{0,n-2}$	$d_{0,n-1}$	$d_{0,n}$
$a_1$	$d_{1,0}$	$d_{1,1}$	<b><math>d_{1,2}</math></b>	<b><math>d_{1,3}</math></b>	<b><math>d_{1,4}</math></b>	$\dots$	$d_{1,n-4}$	$d_{1,n-3}$	$d_{1,n-2}$	$d_{1,n-1}$	$d_{1,n}$
$a_2$	$d_{2,0}$	$d_{2,1}$	$d_{2,2}$	<b><math>d_{2,3}</math></b>	<b><math>d_{2,4}</math></b>	$\dots$	$d_{2,n-4}$	$d_{2,n-3}$	$d_{2,n-2}$	$d_{2,n-1}$	$d_{2,n}$
$a_3$	$d_{3,0}$	$d_{3,1}$	$d_{3,2}$	$d_{3,3}$	<b><math>d_{3,4}</math></b>	$\dots$	$d_{3,n-4}$	$d_{3,n-3}$	$d_{3,n-2}$	$d_{3,n-1}$	$d_{3,n}$
$a_4$	$d_{4,0}$	$d_{4,1}$	$d_{4,2}$	$d_{4,3}$	<b><math>d_{4,4}</math></b>	$\dots$	$d_{4,n-4}$	$d_{4,n-3}$	$d_{4,n-2}$	$d_{4,n-1}$	$d_{4,n}$
$\vdots$	$\vdots$	$\vdots$	$\vdots$	$\vdots$	$\vdots$	$\ddots$	$\vdots$	$\vdots$	$\vdots$	$\vdots$	$\vdots$
$a_{n-4}$	$d_{n-4,0}$	$d_{n-4,1}$	$d_{n-4,2}$	$d_{n-4,3}$	$d_{n-4,4}$	$\dots$	$d_{n-4,n-4}$	<b><math>d_{n-4,n-3}</math></b>	<b><math>d_{n-4,n-2}</math></b>	<b><math>d_{n-4,n-1}</math></b>	<b><math>d_{n-4,n}</math></b>
$a_{n-3}$	$d_{n-3,0}$	$d_{n-3,1}$	$d_{n-3,2}$	$d_{n-3,3}$	$d_{n-3,4}$	$\dots$	$d_{n-3,n-4}$	$d_{n-3,n-3}$	<b><math>d_{n-3,n-2}</math></b>	<b><math>d_{n-3,n-1}</math></b>	<b><math>d_{n-3,n}</math></b>
$a_{n-2}$	$d_{n-2,0}$	$d_{n-2,1}$	$d_{n-2,2}$	$d_{n-2,3}$	$d_{n-2,4}$	$\dots$	$d_{n-2,n-4}$	$d_{n-2,n-3}$	$d_{n-2,n-2}$	<b><math>d_{n-2,n-1}</math></b>	<b><math>d_{n-2,n}</math></b>
$a_{n-1}$	$d_{n-1,0}$	$d_{n-1,1}$	$d_{n-1,2}$	$d_{n-1,3}$	$d_{n-1,4}$	$\dots$	$d_{n-1,n-4}$	$d_{n-1,n-3}$	$d_{n-1,n-2}$	$d_{n-1,n-1}$	<b><math>d_{n-1,n}</math></b>
$a_n$	$d_{n,0}$	$d_{n,1}$	$d_{n,2}$	$d_{n,3}$	$d_{n,4}$	$\dots$	$d_{n,n-4}$	$d_{n,n-3}$	$d_{n,n-2}$	$d_{n,n-1}$	$d_{n,n}$

FIGURE 3.3 – Matrice réduite des distances inter-atomiques d'une molécule (en gras)

$d_{0,1}$	$d_{0,2}$	$d_{0,3}$	$d_{0,4}$
$d_{1,2}$	$d_{1,3}$	$d_{1,4}$	$d_{1,5}$
$d_{2,3}$	$d_{2,4}$	$d_{2,5}$	$d_{2,6}$
$d_{3,4}$	$d_{3,5}$	$d_{3,6}$	$d_{3,7}$
$\vdots$	$\vdots$	$\vdots$	$\vdots$
$d_{n-4,n-3}$	$d_{n-4,n-2}$	$d_{n-4,n-1}$	$d_{n-4,n}$
$d_{n-3,n-2}$	$d_{n-3,n-1}$	$d_{n-3,n}$	0
$d_{n-2,n-1}$	$d_{n-2,n}$	0	0
$d_{n-1,n}$	0	0	0

FIGURE 3.4 – Matrice réduite des distances inter-atomiques d’une molécule

### 3.2.3 Reconstruction des molécules

Lorsqu’un modèle a pour sortie une matrice réduite des distances inter-atomiques lorsqu’il effectue des prédictions, il faut définir une méthode pour reconstruire une matrice des coordonnées (ref REPR MAT COORDS) de façon automatique à partir de cette sortie, la seule contrainte étant que la distance relative entre chaque paire d’atomes soit respectée. Il ne s’agit pour autant pas d’une tâche triviale, elle s’est en effet avérée impossible en pratique pour les grosses molécules à cause de la propagation des erreurs qu’elle induit (voir REF PROPAG ERREURS).

#### 3.2.3.1 Formalisation de la méthode de reconstruction

**Nécessité et limite de l’introduction d’un atome fictif** Notre méthode de reconstruction des atomes doit permettre de respecter la chiralité<sup>1</sup> des molécules. Or, en déduisant uniquement la position d’un atome de ses distances aux quatre atomes précédents, il existe des cas pour lesquels il existe plusieurs solutions pour la position de l’atome (deux si les quatre atomes précédents sur un même plan ou une infinité si les quatre atomes précédents appartiennent à une droite). Pour pallier ce problème, la méthode retenue précédemment a été d’introduire un nouveau point (que l’on nomme atome fictif) et que l’on place arbitrairement dans la molécule, à une position telle qu’il n’appartient pas au plan formé par les trois premiers atomes, ou à la droite formée par les trois premiers atomes s’ils sont alignés. De cette façon, les atomes suivants seront placés sans ambiguïté.

Cependant, on peut imaginer des cas pour lesquels la technique de l’introduction d’un atome fictif ne permet pas de lever l’ambiguïté, notamment pour les molécules possédant une chaîne de carbones liés par des doubles liaisons (et formant donc une droite). La méthode ne permettra pas dans ce cas de déterminer les positions des atomes en bout de chaîne tel que leurs distances relatives soient respectées, cette information étant perdue lors de la création de la matrice réduite des distances inter-atomiques.

Cette représentation n’est donc pas viable en pratique. Cela fait partie des raisons (voir également REF PB SQR) pour lesquelles nous sommes passés à la représentation par matrice réduite des distances à des points fixes (REF MATR RED FIXES).

**Placement de l’atome fictif** Puisque l’on définit la position de chaque atome en fonction de ses distances aux quatre atomes précédents, on doit d’abord placer les quatre premiers atomes de façon partiellement arbitraire. Le premier atome de la molécule dans notre représentation étant l’atome fictif  $a_0$ , nous commençons par le placer à la position qui lui a été attribuée.

**Placement de l’atome  $a_1$**  Une fois l’atome  $a_0$  placé, il existe une infinité de solutions pour la position de l’atome  $a_1$ . On peut en effet le placer à tout point appartenant à la surface de la sphère de centre  $a_0$  et de rayon  $d_{0,1}$ .

**Placement de l’atome  $a_2$**  L’atome  $a_2$  appartient au cercle solution de l’intersection entre les sphères de centres  $a_0$  et  $a_1$  et de rayons  $d_{0,2}$  et  $d_{1,2}$ . On choisit donc arbitrairement une position appartenant à ce cercle.

1. Un composé chimique est dit chiral s’il n’est pas superposable à son image dans un miroir. ([https://fr.wikipedia.org/wiki/Chiralité\\_\(chimie\)](https://fr.wikipedia.org/wiki/Chiralité_(chimie)))

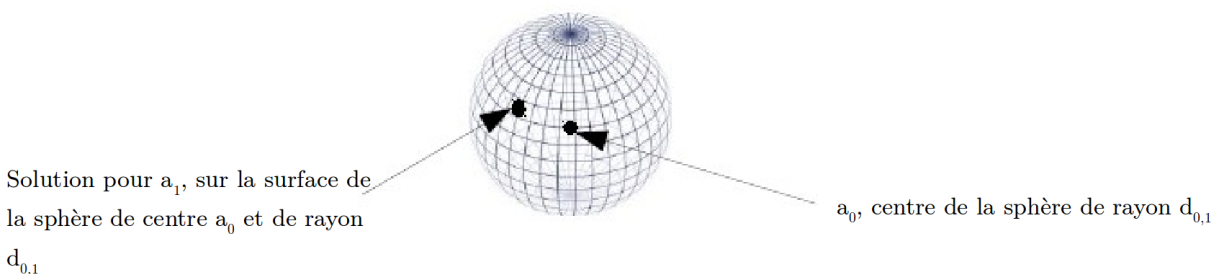


FIGURE 3.5 – Placement de l'atome  $a_1$  (image extraite du rapport de N.Roux)

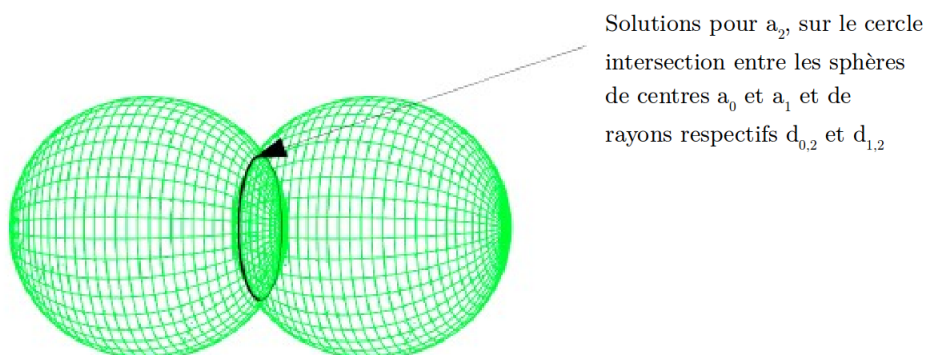


FIGURE 3.6 – Placement de l'atome  $a_2$  (image extraite du rapport de N.Roux)

**Placement de l'atome  $a_3$**  Dans le cas général, il existe deux solutions pour le placement de l'atome  $a_3$ , l'intersection non nulle de trois sphères étant deux points si tous les points ne sont pas sur un même plan ou une même droite. On choisit arbitrairement un point parmi ces deux solutions, car il n'y a pas à ce stade d'ambiguïté de chiralité de la molécule, une molécule composée de trois atomes ne possédant pas de chiralité (l'atome fictif  $a_0$  ne fait pas partie de la molécule).

**Placement de l'atome  $a_n$**  Pour placer l'atome  $a_n$  ( $n$  étant strictement inférieur à la taille de la molécule), nous généralisons la méthode de placement de l'atome  $a_3$ . Plutôt que de travailler sur l'intersection de quatre sphères, nous travaillons toujours sur l'intersection de trois sphères et nous utilisons la dernière distance pour discriminer les deux solutions obtenues. Cela facilite grandement la résolution des équations mathématiques associées et permet d'obtenir des solutions sensiblement équivalentes.

Formellement, nous calculons les positions des deux points solutions de l'intersection des trois sphères de centres  $a_{n-4}$ ,  $a_{n-3}$ , et  $a_{n-2}$  et de rayons  $d_{n-4,n}$ ,  $d_{n-3,n}$  et  $d_{n-2,n}$ , et nous discriminons les deux solutions selon la distance  $d_{n-1,n}$ .

### 3.2.3.2 Reconstruction automatique des positions en utilisant un solveur

Nous développons ici une méthode permettant de déterminer les coordonnées d'un atome quelconque en utilisant un solveur d'équations non linéaires<sup>2</sup>. Nous utilisons la bibliothèque Sympy<sup>3</sup>.

Tout d'abord, l'atome fictif  $a_0$  doit être placé à la position qui lui a été attribuée (REF PLACEMENT AT FICTIF). Nous plaçons ensuite arbitrairement les trois atomes suivants, de sorte que leurs distances relatives soient respectées. Pour simplifier le problème, nous effectuons une translation temporaire telle que  $a_0'$  est à l'origine du repère. Nous plaçons alors  $a_1'$  sur l'axe  $x$ , à une distance  $d_{0,1}$  de l'origine, et  $a_2'$  sur le plan tel que  $z = 0$ , à une position telle que les distances  $d_{0,2}$  et  $d_{1,2}$  sont respectées. Pour finir, nous plaçons  $a_3'$  à l'une des deux

2. [https://en.wikipedia.org/wiki/Nonlinear\\_system](https://en.wikipedia.org/wiki/Nonlinear_system)

3. <http://www.sympy.org/fr/>



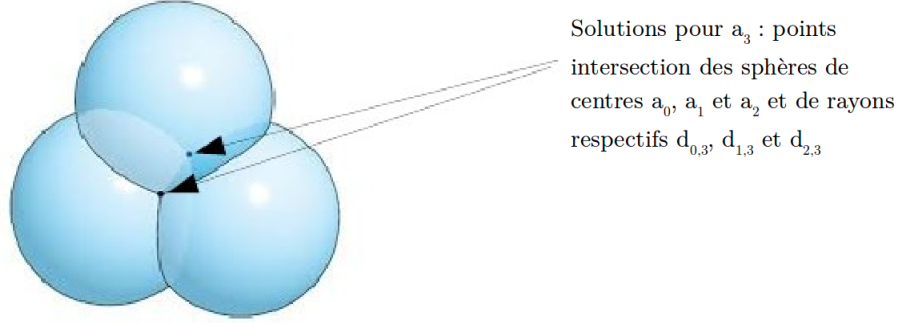


FIGURE 3.7 – Placement de l'atome  $a_3$  (image extraite du rapport de N.Roux)

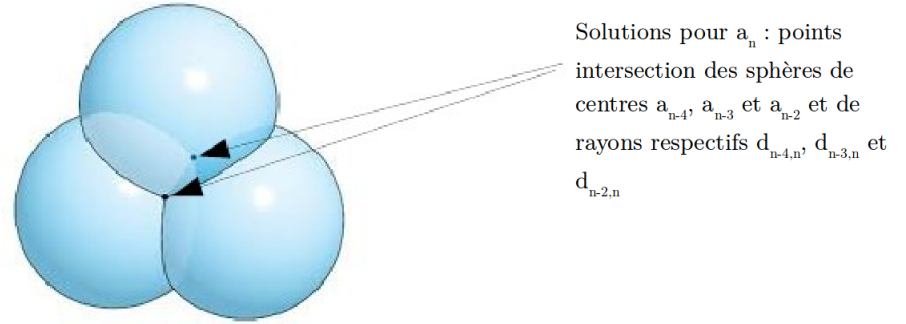


FIGURE 3.8 – Placement de l'atome  $a_n$  (image extraite du rapport de N.Roux)

solutions de l'intersection des sphères associées au problème (REF PLACEMENT A3). Le choix de la solution est arbitraire car la reconstruction de la bonne chiralité de la molécule ne dépend pas du placement des trois premiers atomes non fictifs.

$$a'_0 \begin{cases} x'_0 = 0 \\ y'_0 = 0 \\ z'_0 = 0 \end{cases} \quad a'_1 \begin{cases} x'_1 = d_{0,1} \\ y'_1 = 0 \\ z'_1 = 0 \end{cases} \quad a'_2 \begin{cases} x'_2 = \frac{d_{0,2}^2 - d_{1,2}^2 + x_1^2}{2x'_1} \\ y'_2 = \sqrt{d_{2,0}^2 - x_2'^2} \\ z'_2 = 0 \end{cases} \quad a'_3 \begin{cases} x'_3 = \frac{d_{0,3}^2 + x_1'^2 - d_{1,3}^2}{2x'_1} \\ y'_3 = \frac{-2x'_3x'_2 + d_{0,2}^2 - d_{2,3}^2 + d_{0,3}^2}{2y'_2} \\ z'_3 = \sqrt{-x_3'^2 - y_3'^2 + d_{0,3}^2} \end{cases}$$

FIGURE 3.9 – Placement des atomes  $a'_0$ ,  $a'_1$ ,  $a'_2$  et  $a'_3$

Une fois que les quatre premiers atomes sont placés, nous leur appliquons une translation selon le vecteur  $\vec{a}_0$ , de sorte que l'atome fictif soit à sa position originale, et que les distances relatives des atomes  $a_0$ ,  $a_1$ ,  $a_2$  et  $a_3$  soient toujours consistantes. Nous faisons alors appel au solveur pour résoudre les équations associées au placement des autres atomes de la molécule. Pour chaque atome, nous sélectionnons la solution respectant au mieux la distance  $d_{n-1,n}$  (REF PLACEMENT AN).

$$\begin{cases} d_{n-4,n}^2 = (x_n - x_{n-4})^2 + (y_n - y_{n-4})^2 + (z_n - z_{n-4})^2 \\ d_{n-3,n}^2 = (x_n - x_{n-3})^2 + (y_n - y_{n-3})^2 + (z_n - z_{n-3})^2 \\ d_{n-2,n}^2 = (x_n - x_{n-2})^2 + (y_n - y_{n-2})^2 + (z_n - z_{n-2})^2 \end{cases}$$

FIGURE 3.10 – Équations de sphères permettant d'obtenir la position d'un atome quelconque de la molécule

**Limites de l'approche par solveur** L'utilisation d'un solveur calculant les solutions au cas par cas pose deux problèmes importants. Le premier concerne les performances de la solution. En effet, la résolution des systèmes d'équations consomme beaucoup de ressources et prend donc un temps non négligeable si on souhaite appliquer la méthode à un grand nombre de molécules.

Le second problème est lié à la propagation des erreurs lors de la reconstruction (REF RECONSTRUCT TRI-LAT). À cause du manque de précision de certaines valeurs, certaines intersections de sphères sont vides. Le solveur renvoie alors des solutions imaginaires que nous ne pouvons pas interpréter. Ce problème se manifeste avant tout sur les molécules de taille importante, mais il est impossible de déterminer une taille limite au delà de laquelle nous ne pouvons pas reconstruire les molécules. Cela implique qu'il existe des molécules que nous ne pouvons pas reconstruire, et que nous ne pouvons pas déterminer à l'avance si une molécule donnée peut être reconstruite.

FIGURE 3.11 – Temps d'exécution de la résolution par solveur

### 3.2.3.3 Reconstruction automatique des positions en utilisant des équations de trilatération

Afin de pallier les problèmes liés à l'utilisation d'un solveur pour construire l'ensemble des positions des atomes d'une molécule à partir de la matrice réduite des distances inter-atomiques, nous utilisons une méthode permettant de calculer les positions de chaque point à partir d'un ensemble d'équations. Cette méthode est décrite sur Wikipédia<sup>4</sup>. Il s'agit d'une méthode de trilatération de points, c'est à dire que l'on cherche à déterminer la position d'un point en fonction de ses distances à trois points dont les positions sont connues, par opposition à la triangulation<sup>5</sup> pour laquelle on détermine la position d'un point en fonction de ses angles à des points dont les positions sont connues.

De même que pour la méthode utilisant un solveur (REF SOLV), nous commençons par placer l'atome fictif  $a_0$  à la position qui lui a été attribuée, puis les atomes  $a_1$ ,  $a_2$  et  $a_3$  de façon arbitraire telle que les distances relatives des atomes  $a_i$ ,  $i \in \{0, \dots, 3\}$  soient respectées. Nous utilisons pour cela les équations décrites en (REF FIG PLACEMENT).

Une fois les quatre premiers atomes placés, nous cherchons à placer l'atome  $a_n$  de la molécule en fonction de ses distances aux quatre atomes précédents. Nous calculons les solutions en considérant que  $a_{n-4}'$  est à l'origine du repère, que  $a_{n-3}'$  est sur l'axe  $x$ , et que  $a_{n-2}'$  est sur le plan tel que  $z = 0$ , puis nous effectuons une translation des solutions dans le système de coordonnées original. Pour cela, nous définissons les quantités et vecteurs suivants.

La notation  $\hat{u}$  indique un vecteur  $u$  de norme 1, et nous considérons que  $\overline{a_i}$  représente le vecteur allant de l'origine au point  $a_i$ , dans le but de simplifier l'écriture des équations.

Vecteur unitaire dans la direction de  $a_{n-4}$  à  $a_{n-3}$  :

$$\hat{e}_x = \frac{\overline{a_{n-3}} - \overline{a_{n-4}}}{d_{n-4,n-3}}$$

Ordre de grandeur signé de la composante  $x$  dans le nouveau système de coordonnées du vecteur  $\overline{a_{n-4}a_{n-2}}$  :

$$i = \hat{e}_x \cdot (\overline{a_{n-4}} - \overline{a_{n-2}})$$

Vecteur unitaire dans la direction  $y$  par rapport à  $\hat{e}_x$  :

$$\hat{e}_y = \frac{\overline{a_{n-2}} - \overline{a_{n-4}} - i\hat{e}_x}{\|\overline{a_{n-2}} - \overline{a_{n-4}} - i\hat{e}_x\|}$$

4. <https://en.wikipedia.org/wiki/Trilateration>

5. <https://fr.wikipedia.org/wiki/Triangulation>

Vecteur unitaire dans la direction  $z$  par rapport à  $\hat{e}_x$  et  $\hat{e}_y$  :

$$\hat{e}_z = \hat{e}_x \times \hat{e}_y$$

Ordre de grandeur signé de la composante  $y$  dans le nouveau système de coordonnées du vecteur  $\overline{a_{n-4}a_{n-2}}$  :

$$j = \hat{e}_y \cdot (\overline{a_{n-4}} - \overline{a_{n-2}})$$

On calcule alors les deux solutions pour  $a'_n$  selon les équations suivantes.

$$a'_n \begin{cases} x'_n = \frac{d_{n-4,n}^2 - d_{n-3,n}^2 + d_{n-4,n-3}^2}{2d_{n-4,n-2}^2} \\ y'_n = \frac{d_{n-4,n}^2 - d_{n-2,n}^2 + i^2 + j^2}{2j} - \frac{i}{j} x'_n \\ z'_n = \pm \sqrt{d_{n-4,n}^2 - x_n'^2 - y_n'^2} \end{cases}$$

Enfin, nous translatons les deux solutions  $a'_n$  dans le système de coordonnées original selon le vecteur suivant.

$$\bar{p} = \overline{a_{n-4}} + x'_n \hat{e}_x + y'_n \hat{e}_y + z'_n \hat{e}_z.$$

Nous obtenons alors deux solutions  $a_n$ , et nous sélectionnons celle telle que la distance  $d_{n-1,n}$  est la plus cohérente.

**Performances et limites (propagation des erreurs)** Les équations de trilatération permettent de calculer la matrice des coordonnées de façon très rapide. Néanmoins, de même que la méthode utilisant un solveur d'équations, cette méthode souffre d'un problème de propagation des erreurs intrinsèque à la représentation par matrice réduite des distances inter-atomiques. En effet, lorsque l'on calcule les coordonnées d'un atome à partir de ses distances aux quatre atomes précédents, et que l'on compare ces distances aux distances aux mêmes points de la position nouvellement calculée, on s'aperçoit qu'elles ne sont pas parfaitement identiques. L'erreur est très faible (de l'ordre de  $10^{-25}$  m) et est individuellement très au-delà de la précision requise en chimie quantique (environ  $10^{-15}$  m), mais elle finit par devenir trop importante du fait de sa propagation au fil des calculs, la position de chaque atome étant calculée à partir de ses distances aux quatre atomes précédents.

La présence d'une racine carrée dans les équations (calcul de  $z'_n$ ) accélère la propagation des erreurs. En effet, après quelques itérations et quelques faibles erreurs, les intersections de sphères deviennent vides, ce qui se traduit dans nos équations par le calcul de la racine d'un nombre négatif. Pour parer cela, nous considérons que le contenu de la racine vaut zéro lorsqu'il est négatif, mais cela introduit une erreur importante et augmente donc la fréquence des intersections vides dans le calcul de la position des atomes suivants.

Afin de retarder l'apparition des erreurs dépassant le seuil toléré, nous aurions pu ajuster les valeurs de  $x'_n$  et  $y'_n$  lorsque l'on considère que le contenu de la racine est nul selon l'équation ci-dessous. Toutefois, cela n'aurait pas constitué une solution viable car le problème aurait été simplement déplacé dans le temps, l'erreur se propageant tout de même.

Les tests ont montré que l'on pouvait reconstruire les positions des atomes des molécules avec cette méthode de façon fiable pour les molécules de taille inférieure à 15 atomes.

$$x_n'^2 = d_{n-4,n}^2 - y_n'^2$$

FIGURE 3.12 – Optimisation de  $x'_n$  et  $y'_n$  lorsque l'on considère que  $z'_n$  est nul

### 3.3 Matrice réduite des distances à des points fixes

#### 3.4

## Chapitre 4

# Modèles prédictifs

Chapitre 5

Conclusion

# Annexes